

Министерство науки и высшего образования Российской Федерации  
Федеральное государственное автономное образовательное учреждение  
высшего образования «Национальный исследовательский Нижегородский  
государственный университет им. Н.И. Лобачевского»

Институт Информационных технологий, математики и механики

Отчёт по лабораторной работе

# **Численное решение начально-краевой задачи для интегро-дифференциального уравнения в частных производных**

Выполнил:  
студент гр. 381806-01

Алибеков М.Р.

Проверил:  
Доцент каф. ДУМЧА, ИИТММ

Эгамов А.И.

Нижний Новгород  
2021 г.

# Содержание

<b>1. ВВЕДЕНИЕ .....</b>	<b>3</b>
<b>2. ПОСТАНОВКА ЗАДАЧИ .....</b>	<b>4</b>
<b>3. ТЕОРЕТИЧЕСКАЯ ОСНОВА.....</b>	<b>5</b>
<b>3.1 ОПИСАНИЕ УПРАВЛЯЕМОГО ПРОЦЕССА .....</b>	<b>5</b>
<b>3.2 РЕШЕНИЕ ЗАДАЧИ .....</b>	<b>6</b>
<b>4. РУКОВОДСТВО ПОЛЬЗОВАТЕЛЯ .....</b>	<b>8</b>
<b>5. ЗАКЛЮЧЕНИЕ.....</b>	<b>12</b>
<b>6. ЛИТЕРАТУРА.....</b>	<b>13</b>

# 1. Введение

Лабораторная работа направлена на изучение вопроса численного решения начально-краевой задачи для интегро-дифференциального уравнения в частных производных.

Основа большинства физических законов сформулирована в терминах дифференциальных уравнений, а потому они являются одним из важнейших инструментов математического моделирования. Законы Ньютона в механике и уравнения Максвелла в теории электромагнитного поля, законы Кирхгофа в теории электрических цепей и уравнение Шредингера в квантовой механике, а также многие другие дифференциальные уравнения или их системы составляют ядро математического аппарата физических исследований.

Зачастую, аналитическое решение некоторых наиболее интересных дифференциальных уравнений, к сожалению, невозможно, и, в связи с этим, приходится прибегать к численным решениям ДУ, в том числе, и к решению начально-краевой задачи для интегро-дифференциального уравнения в частных производных.

Непосредственно в данной лабораторной работе рассматривается управляемый процесс нагревания стержня: дан тонкий однородный стержень с теплоизолированными концами длины  $L$ . На процесс изменения температуры стержня осуществляется некое воздействие для достижения определённых целей, например, через стержень пропускается электрический ток. Математическая модель данного процесса будет рассмотрена в теоретической части данной работы.

В ходе данной лабораторной работы требуется: построить математическую модель процесса, вывести способ вычисления температуры стержня и реализовать данный метод в виде программного комплекса с «дружелюбным» графическим пользовательским интерфейсом.

## 2. Постановка задачи

В рамках лабораторной работы ставится задача реализации программного комплекса с графическим пользовательским интерфейсом (на одном из языков программирования высокого уровня), который позволит находить численное решение начально-краевой задачи для интегро-дифференциального уравнения в частных производных.

Программный комплекс должен обладать следующими возможностями:

- Возможность задания и изменения:
  - длину стержня  $L$
  - времени  $T$
  - шага  $h$  в разностной схеме по координате  $x$
  - шага  $\tau$  в разностной схеме по координате  $t$
  - констант  $\varphi_1, \varphi_2, b_0, b_1, b_2$
- Возможность вывода на экран:
  - строки прогресса и времени выполнения данной работы
  - графика функции  $\varphi(x)$  – синим цветом
  - графика найденной функции – красным цветом
  - графика решения части А – зелёным цветом
- Нахождение решения при других параметрах начальных функций без перезапуска программы.
- Вычисление решения начально-краевой задачи для интегро-дифференциального уравнения в частных производных. При этом должно использоваться 2 варианта функций управления с обратной связью.
- Численное интегрирования различных функций методом Симпсона.
- Вычисление решения начально-краевой задачи для интегро-дифференциального уравнения в частных производных.  
Замечание: должно использоваться 2 варианта функций управления с обратной связью (часть А и часть В).

Очевидно, для работы с численным интегрированием методом Симпсона и методом прогонки с трехдиагональными матрицами должны быть представлены отдельные независимые модули. Также для удобства целесообразно иметь некий класс, содержащий в себе функции  $\varphi(x)$  и  $b(x)$ .

Программное решение должно выглядеть приблизительно следующим образом:

1. Модуль MainForm – поддержка GUI (графического пользовательского интерфейса) для работы с программой.
2. Модуль HeatGrid – комплексное осуществление работы с математической моделью процесса и способа вычисления температуры стержня.
3. Модуль SimpsonMethod – статический класс, предоставляющий возможность численного интегрирования по формуле Симпсона.
4. Модуль TridiagonalMatrix – возможность работы с трехдиагональными матрицами и решением СЛАУ специального вида методом прогонки.
5. Модуль Functions – класс, содержащий в себе функции  $\varphi(x)$  и  $b(x)$ .

### 3. Теоретическая основа

#### 3.1 Описание управляемого процесса

В рамках данной задачи будет рассмотрена математическая модель процесса нагревания тонкого однородного стержня с теплоизолированными концами длины  $L$ .

На множестве  $Q = [0, L] \times [0, T]$ ,  $L > 0, T > 0$ ; будем искать функцию  $y(x, t)$  – температуру стержня – непрерывно дифференцируемую по  $t$  и дважды дифференцируемую по  $x$  – решение уравнения:

$$y_t'(x, t) = a^2 y_{xx}''(x, t) + u(x, t), \quad (1)$$

удовлетворяющее однородным граничным условиям второго рода (т.к. у стержня теплоизолированные концы):

$$y_x'(0, t) = y_x'(L, t) = 0 \quad (2)$$

и начальному условию:

$$y(x, 0) = \varphi(x), \quad (3)$$

где  $a$  – константа, функция  $\varphi(x) > 0$  задает начальное распределение температуры, дважды непрерывно дифференцируема на отрезке  $[0, L]$  и удовлетворяет условиям согласования (3) и условию:

$$\int_0^L \varphi(x) dx = 1. \quad (4)$$

Непрерывная функция  $u(x)$  – управление с обратной связью, которое представляется в одном из вариантов:

$$u(x, t) = b(x)y(x, t) \quad (5)$$

$$u(x, t) = b(x)y(x, t) - y(x, t) \int_0^L b(x)y(x, t) dx \quad (6)$$

где  $b(x)$  – управляющая функция, непрерывная на отрезке  $[0, L]$ .

В данной лабораторной работе предлагается взять следующие функцию начального распределения температуры и управляющую функцию:

$$\varphi(x) = \frac{1}{L} + \varphi_1 \cos \frac{\pi x}{L} + \varphi_2 \cos \frac{2\pi x}{L}, \quad (7)$$

$$b(x) = b_0 + b_1 \cos \frac{\pi x}{L} + b_2 \cos \frac{2\pi x}{L}, \quad (8)$$

где  $\varphi_1, \varphi_2, b_0, b_1, b_2$  – некие константы.

В результате работы необходимо получить изменение начальной кривой с течением времени, которое описывается дифференциальным уравнением (1).

## 3.2 Решение задачи

Первым шагом решения будет составление неявной разностной схемы с погрешностью  $O(\tau + h^2)$  для уравнений (1) и (6).

Для этого сначала построим в области  $Q = [0, L] \times [0, T]$ ,  $L > 0, T > 0$  равномерную сетку:

$$\omega_{h\tau} = \left\{ (x_i, t_j): x_i = ih, t_j = j\tau, \text{ где } i = \overline{0, n}, j = \overline{0, m}, h = \frac{L}{n}, \tau = \frac{T}{m}, n, m \in \mathbb{Z} \right\} \quad (9)$$

Краевую задачу аппроксимируем при помощи замены дифференциальных операторов на следующие разностные операторы:

$$(y'_t)_{i,j} = \frac{y_{i,j} - y_{i,j-1}}{\tau} \quad (10)$$

$$(y''_{xx})_{i,j} = \frac{y_{i-1,j} - 2y_{i,j} + y_{i+1,j}}{h^2} \quad (11)$$

(10) и (11) подставим в (1):

$$\frac{y_{i,j} - y_{i,j-1}}{\tau} = a^2 \frac{y_{i-1,j} - 2y_{i,j} + y_{i+1,j}}{h^2} + u_{i,j}, \quad (12)$$

где  $u_{i,j} = b_i y_{i,j} - y_{i,j} \int_0^L b(x) y(x, t) dx$ , а интеграл для каждого слоя рассчитываем по формуле Симпсона:

$$I_j = \frac{h}{3} (y_0 + 4y_1 + 2y_2 + 4y_3 + 2y_4 + \dots + 2y_{n-4} + 4y_{n-3} + 2y_{n-2} + 4y_{n-1} + y_n) \quad (13)$$

Сделаем следующую замену:

$$r = \frac{a^2 \tau}{h^2}, \quad a = 1 \quad (14)$$

Тогда:

$$\frac{y_{i,j} - y_{i,j-1}}{\tau} = \frac{r(y_{i-1,j} - 2y_{i,j} + y_{i+1,j})}{\tau} + u_{i,j} \quad (15)$$

$$y_{i,j} - y_{i,j-1} = r(y_{i-1,j} - 2y_{i,j} + y_{i+1,j}) + \tau u_{i,j} \quad (16)$$

$$-y_{i,j-1} - \tau u_{i,j} = ry_{i-1,j} - (1 + 2r)y_{i,j} + ry_{i+1,j} \quad (17)$$

Получили неявную сеточную схему:

$$ry_{i-1,j} - (1 + 2r)y_{i,j} + ry_{i+1,j} = -y_{i,j-1} - \tau u_{i,j} \quad (18)$$

Можно заметить, что значения  $y_{i,j}$  можно найти методом прогонки:

$$A = C = r, \quad B = -(1 + 2r), \quad F_i = -y_{i,j-1} - \tau u_{i,j} \quad (19)$$

Тогда неявная сеточная схема приобретает следующий вид:

$$Ay_{i-1,j} + By_{i,j} + Cy_{i+1,j} = F_i \quad (20)$$

Но не стоит забывать о граничных условиях (2). Заменим эти дифференциальные операторы на центральные разностные производные с погрешностью второго порядка:

$$\frac{y_{0+1,j} - y_{0-1,j}}{2h} = 0 \Rightarrow y_{-1,j} = y_{1,j} \quad (21)$$

$$\frac{y_{n+1,j} - y_{n-1,j}}{2h} = 0 \Rightarrow y_{n+1,j} = y_{n-1,j} \quad (22)$$

Тогда для нулевого слоя получаем:

$$Ay_{-1,j} + By_{0,j} + Cy_{1,j} = F_0 \quad (23)$$

$$Ay_{1,j} + By_{0,j} + Cy_{1,j} = F_0 \quad (24)$$

$$By_{0,j} + (A + C)y_{1,j} = F_0 \quad (25)$$

А для последнего слоя:

$$Ay_{n-1,j} + By_{n,j} + Cy_{n+1,j} = F_n \quad (26)$$

$$Ay_{n-1,j} + By_{n,j} + Cy_{n-1,j} = F_n \quad (27)$$

$$(A + C)y_{n-1,j} + By_{n,j} = F_n \quad (28)$$

Собрав все уравнения воедино получим матрицу:

$$M = \begin{pmatrix} B & A + C & 0 & \dots & 0 & 0 & 0 \\ A & B & C & 0 & \dots & 0 & 0 \\ 0 & A & B & C & \dots & 0 & 0 \\ \dots & \dots & \dots & \dots & \dots & \dots & \dots \\ 0 & 0 & \dots & 0 & A & B & C \\ 0 & 0 & 0 & \dots & 0 & A + C & B \end{pmatrix} \quad (29)$$

Или, что тоже самое:

$$M = \begin{pmatrix} -(1 + 2r) & 2r & 0 & \dots & 0 & 0 & 0 \\ r & -(1 + 2r) & r & \dots & \dots & 0 & 0 \\ 0 & r & -(1 + 2r) & \dots & \dots & 0 & 0 \\ \dots & \dots & \dots & \dots & \dots & \dots & \dots \\ 0 & 0 & \dots & \dots & r & -(1 + 2r) & r \\ 0 & 0 & 0 & \dots & 0 & 2r & -(1 + 2r) \end{pmatrix} \quad (30)$$

Получаем СЛАУ (систему линейных алгебраических уравнений)  $My = F$ .

Зная решение нулевого слоя (начальные условия), можно заполнить первый слой. Зная первый -второй. И так далее, итеративно будем рассчитывать слои. То есть, постоянно добавляя в правую часть системы решение предыдущего слоя, можно находить решение следующего слоя.

Решение этой задачи можно также получить, если взять в качестве функции управления с обратной связью функцию (5), а не (6).

В том случае, если возьмем в качестве функции управления с обратной связью функцию (5), а не (6), проведя аналогичные действия получим функцию  $w(x, t)$  (аналог функции  $y(x, t)$ , получаемой при рассмотрении (6))

Методом Симпсона найдём значение следующего интеграла:

$$I(t) = \int_0^L w(x, t) dx \quad (31)$$

Поделив  $w(x, t)$  на интеграл (31), вычисляемый для последнего слоя:

$$\frac{w(x, T)}{I(T)}, \quad (32)$$

мы сможем получить решение этой же задачи. Именно этот метод в данной лабораторной работе именуется “Частью А”, а выражение (32) – решением части А.

## 4. Руководство пользователя

При запуске программы перед пользователем появляется интерфейс управления (см. Рисунок 1):

[Alibekov M.R.] Lab\_04 (CRH Process)

Начальное распределение температуры:  
 $\varphi(x) = 1/L + \varphi_1 \cos(\pi x/L) + \varphi_2 \cos(2\pi x/L)$

Управляющая функция:  
 $b(x) = b_0 + b_1 \cos(\pi x/L) + b_2 \cos(2\pi x/L)$

Parameters:  
 $L = 5$   
 $T = 3$   
 $h = 0,2$   
 $\tau = 0,01$   
 $b_0 = 1,2$   
 $b_1 = 0,5$   
 $b_2 = -3$   
 $\varphi_1 = 1,4$   
 $\varphi_2 = 0,3$

Buttons: **Рассчитать** **Показать решение части А**

Legend:  
— Начальное распределение температуры  
— Конечное рапределение температуры  
— Решение части А

Progress bar: 0 s 0 ms

Рисунок 1. Окно приложения

После запуска можно заметить большое пустое поле в нижней области приложения. Именно в этой области будут вырисовываться графики начальной температуры, конечной температуры и график решения части А. В верхней области располагаются данные о начальных условиях, включающие в себя вид функций распределения начальных условий и форматируемые поля для непосредственного задания параметров (длины стержня  $L$ , времени  $T$ , шага  $h$  в разностной схеме по координате  $x$ , шага  $\tau$  в разностной схеме по координате  $t$ , констант  $\varphi_1, \varphi_2, b_0, b_1, b_2$ ). В самом внизу можно заметить строку прогресса и время выполнения расчетов (по умолчанию стоит 0 секунд и 0 миллисекунд).



При заданных параметрах можно рассчитать температуру, нажав кнопку “Рассчитать”. После нажатия на кнопку строка прогресса постепенно, по мере выполнения вычислений будет заполняться, а по результатам вычислений в белой области в нижней части приложения появятся графики начального (синяя линия) и конечного (красная линия) распределения температур стержня, «активируется» кнопка “Показать решение части А”, а рядом со строкой прогресса появится время выполнения вычислений (в секундах и миллисекундах). (см. Рисунок 2).

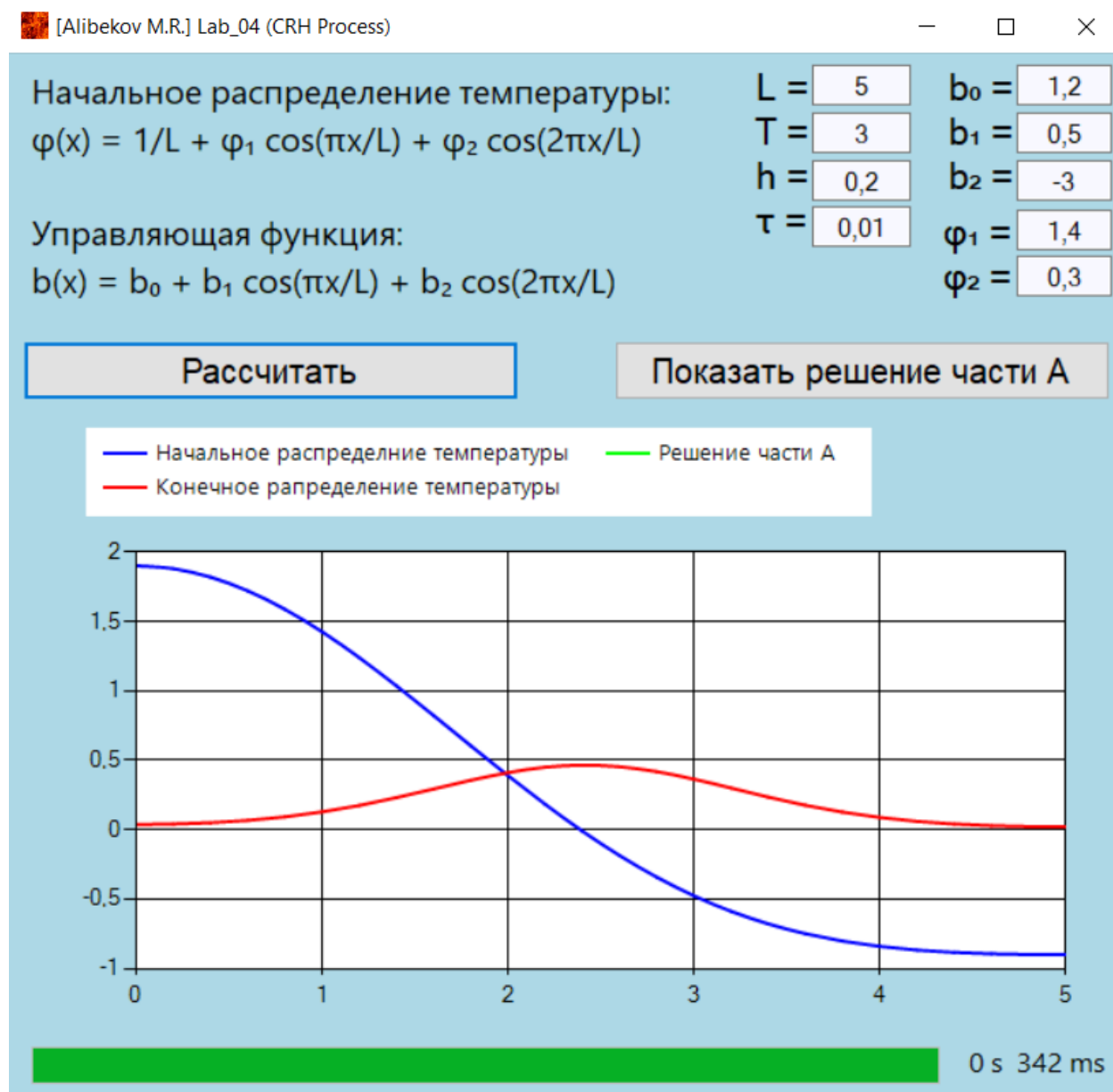


Рисунок 2. Расчёт и построение графиков распределения температур

При нажатии на кнопку “Показать решение части А” происходит перерасчет с учетом другой функции управления с обратной связью. При этом строка прогресса обнулится, а затем снова постепенно, по мере выполнения вычислений будет заполняться, а по результатам вычислений в белой области в нижней части приложения поверх уже прорисованных графиков появится новый график конечного распределения температуры в виде линии зеленого цвета, значение времени рядом со строкой прогресса обновится с учетом времени выполнения новых расчетов, а кнопка “Показать решение части А” поменяется на “Скрыть решение части А”. (см. Рисунок 3).

В виду того, что решения с разными функциями управления с обратной связью приблизительно схожи, зачастую красная линия будет затмеваться зеленой линией.

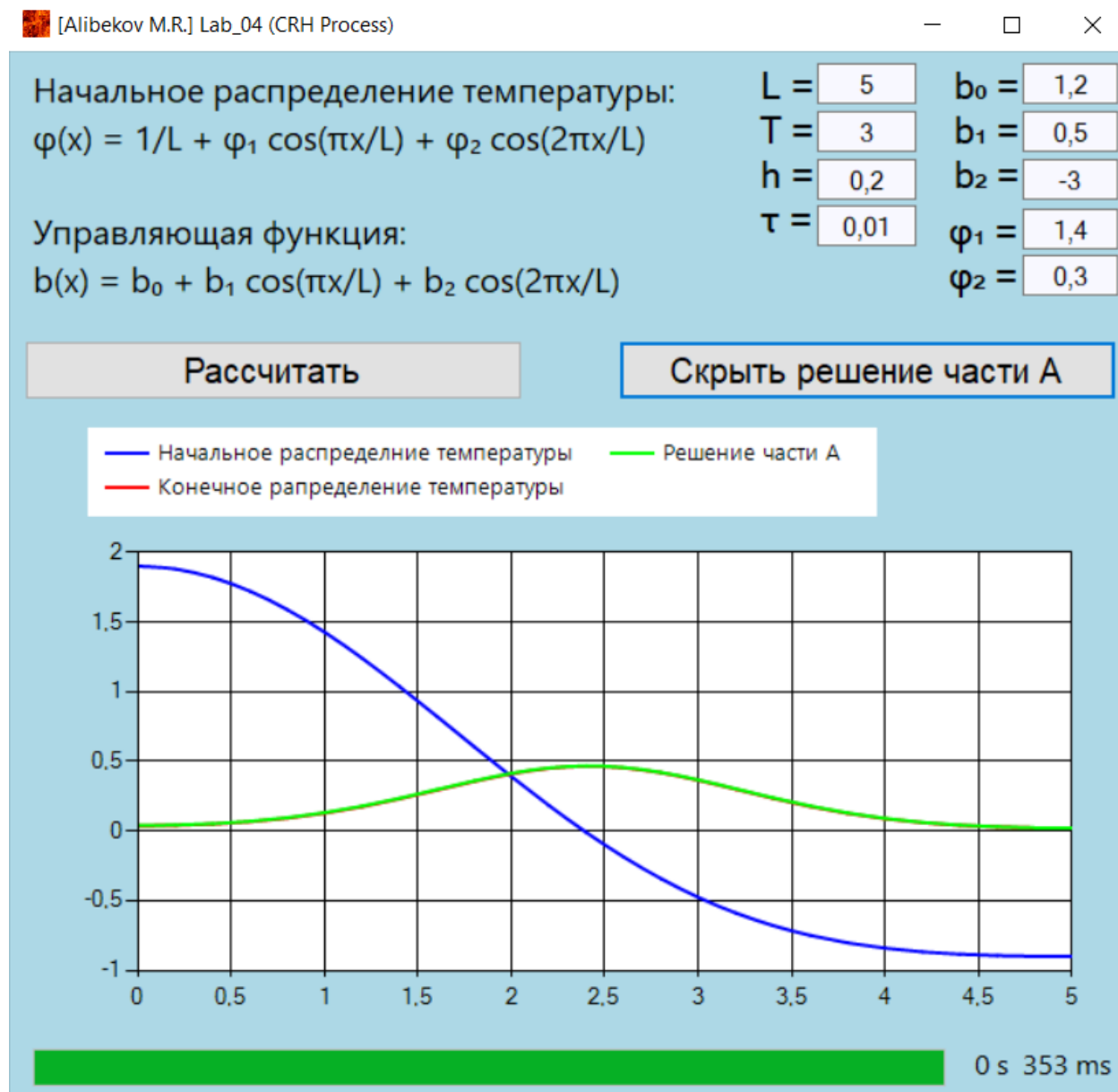


Рисунок 3. Построение графика решения части А

При нажатии на кнопку “Скрыть решение части А” все вернется в состояние до нажатия кнопки “Показать решение части А”, а в частности исчезнет график решения части А (линия зеленого цвета), и кнопка “Скрыть решение части А” поменяется на “Показать решение части А”. (см. Рисунок 4).

Начальное распределение температуры:

$$\varphi(x) = 1/L + \varphi_1 \cos(\pi x/L) + \varphi_2 \cos(2\pi x/L)$$

Управляющая функция:

$$b(x) = b_0 + b_1 \cos(\pi x/L) + b_2 \cos(2\pi x/L)$$

L = 5

b<sub>0</sub> = 1,2

T = 3

b<sub>1</sub> = 0,5

h = 0,2

b<sub>2</sub> = -3

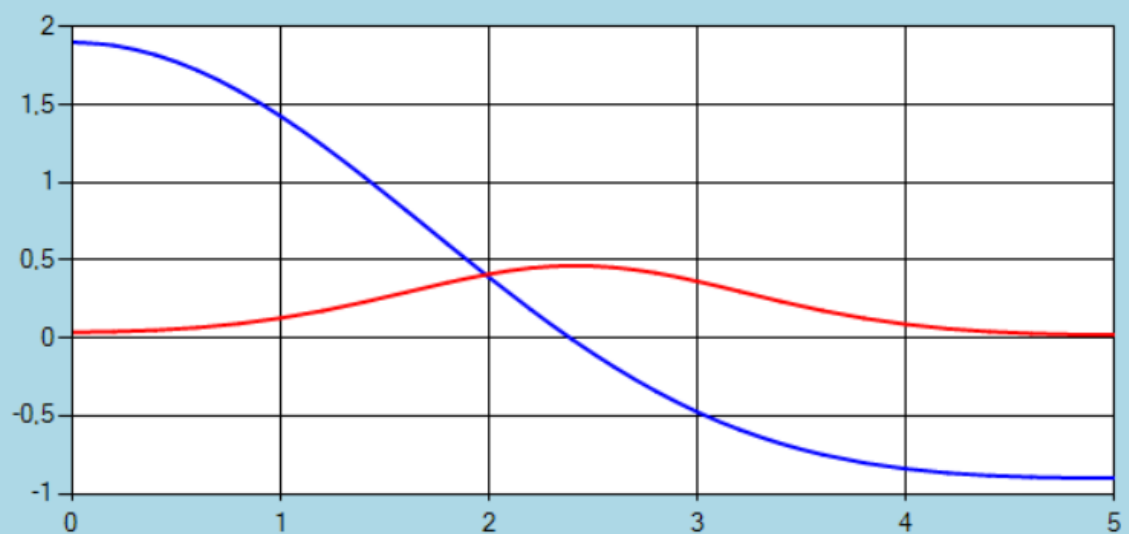
τ = 0,01

φ<sub>1</sub> = 1,4φ<sub>2</sub> = 0,3

Рассчитать

Показать решение части A

— Начальное распределение температуры — Решение части A  
 — Конечное распределение температуры



0 s 353 ms

Рисунок 4. Скрытие графика решения части A

## 5. Заключение

В результате лабораторной работы был разработан программный комплекс на языке C#, позволяющий найти численное решение начально-краевой задачи для интегро-дифференциального уравнения в частных производных на примере задачи вычисления температуры тонкого однородного стержня с теплоизолированными концами при нагревании.

В результате работы программы выполняется поиск решения с учетом начальных данных (линия синего цвета), задаваемых пользователем вручную и последующее её отображение на экране в графическом виде (линией красного цвета). Также присутствует возможность использовать второй вариант функции управления с обратной связью (часть А (линия зеленого цвета)).

Также в ходе экспериментов сравнили результирующие решения, полученные использованием разных вариантов функций управления с обратной связью. И на основе данной лабораторной работы можно сделать некоторые выводы, касающиеся решения части В:

- На концах отрезка в силу график функции численного решения имеет горизонтальные касательные.
- Площадь фигуры, где график функции  $\varphi(x)$  выше, чем  $y(x, T)$  равна площади фигуры, где функция  $\varphi(x)$  ниже, чем  $y(x, T)$ .
- При замене функции  $b(x)$  на  $b(x) + C_0$ , где  $C_0$  – некоторая константа, функция  $y(x, T)$  не изменяется.
- Зеленый график находится «близко» к красному.

В результате, цели, поставленные в данной лабораторной работе, были успешно достигнуты.

## 6. Литература

1. Герберт Шилдт. С# 4.0: Полное руководство: ООО “И.Д. Вильямс”, 2011 – 1056 с.
2. Эгамов А.И. Лабораторная работа «Численное решение начально-краевой задачи для интегро-дифференциального уравнения в частных производных: учебно-метод. пособие / А.И. Эгамов. – Нижний Новгород: Изд-во ННГУ, 2019. – 15 с
3. Э.Г. Позняк, В.А. Ильин. Основы Математического анализа. Часть 2. – Москва: Физматлит, 2002. 464с.
4. А.Н. Тихонов, А.А. Самарский. Уравнения математической физики. – М.: Наука, 1979. 799с.
5. А.А. Самарский. Введение в численные методы. – СПб.: Лань, 2005. 288с.
6. Крайнов А.Ю., Миньков Л.Л. Численные методы решения задач тепло- и массопереноса: учеб. пособие. – Томск : STT, 2016. – 92 с.
7. И.С. Березин, Жидков Н.П. Методы вычислений Т.2. – М.: ГИФМЛ, 1959. 620с.